doi: 10.13241/j.cnki.pmb.2014.23.001

# ·基础研究:

# 利用慢病毒载体观察 microRNA-194 对人骨肉瘤细胞系 U2-OS 生物学特性的影响 \*

韩 康 <sup>1,2#</sup> 赵廷宝 <sup>2#</sup> 卞 娜 <sup>1</sup> 蔡成魁 <sup>1</sup> 颜世举 <sup>1</sup> 王 鑫 <sup>1</sup> 肖 春 <sup>1</sup> 沙 浩 <sup>1</sup> 董 川 <sup>1</sup> 杨彤涛 <sup>1</sup> 周 勇 <sup>1△</sup> 马保安 <sup>1△</sup>

(1 第四军医大学唐都医院全军骨科中心暨全军骨肿瘤研究所 陕西 西安 710038; 2 济南军区总医院脊髓修复科 山东 济南 250000)

摘要 目的:通过构建携带针对 microRNA-194 的 shRNA 载体及过表达载体,包装慢病毒,感染人骨肉瘤细胞系 U2-OS,改变细胞内 microRNA-194 基因的表达水平,研究 microRNA-194 对细胞增殖、凋亡及细胞周期的影响,为探索 microRNA-194 作为骨肉瘤生物治疗的新靶点提供理论和实验依据。方法:PCR 扩增 pri-miR-194 及 miR-194-5 成熟体,克隆于慢病毒载体 plent-i GFP 中,转染大肠杆菌感受态细胞,收获并浓缩慢病毒颗粒,感染人骨肉瘤细胞系 U2-OS。进行 MTT,流式,平板克隆等试验。结果:1.重组慢病毒表达质粒构建正确,过表达及抑制过表达重组慢病毒的滴度分别为 1.5× 10<sup>8</sup> TU/ml 及 4× 10<sup>8</sup> TU/ml;2. microRNA-194 过表达的人骨肉瘤细胞系 U2-OS 细胞增殖速度,凋亡率及细胞周期相较于其它实验组都有明显变化 (P<0.01)。结论:成功构建了microRNA-194 过表达及抑制过表达慢病毒表达载体;miR-194 的表达水平对 U2-OS 细胞的增殖和凋亡造成显著影响。microRNA-194 可能成为骨肉瘤治疗的潜在新靶点,但该基因对骨肉瘤发生发展的作用及其机制尚待进一步研究。

关键词: microRNA-194; 慢病毒; 骨肉瘤; 细胞增殖; 细胞凋亡

中图分类号: R738 文献标识码: A 文章编号: 1673-6273(2014)23-4401-05

# Effects of MicroRNA-194 on Proliferation and Apoptosis of Human Osteosarcoma Cell Line U2-OS by Using Recombinant Lentivirus Vector\*

HAN Kang<sup>1,2#</sup>, ZHAO Ting-bao<sup>2#</sup>, BIAN Na<sup>1</sup>, CAI Cheng-kui<sup>1</sup>, YAN Shi-ju<sup>1</sup>, WANG Xin<sup>1</sup>, XIAO Chun<sup>1</sup>, SHA Hao<sup>1</sup>, DONG Chuan<sup>1</sup>, YANG Tong-tao<sup>1</sup>, ZHOU Yong<sup>1∆</sup>, MA Bao-an<sup>1∆</sup>

(1 Department of Orthopedic Surgery Center and Orthopedic Oncology Institute of PLA, Tangdu Hospital, Fourth Military Medical University, Xi'an, Shaanxi, 710038, China; 2 Department of Spinal Cord Injury, General Hospital of Jinan Military Area Command of Chinese PLA, Jinan, Shandong, 250000, China)

ABSTRACT Objective: shRNA vector and expression vector of microRNA-194 were constructed to package lentivirus that could knock down or overexpress microRNA-194. MicroRNA-194 levels in Osteosarcoma Cell Line U2-OS were changed through lentivirus infection. Then the changes of cell proliferation rate and cell cycle were observed. All these would provide the foundation of theory and experiment to explore microRNA-194 as a new target of osteosarcoma therapy. Methods: Pri-miR-194 and mature miR-194-5 amplified by PCR was inserted into plenty-GFP vector, and then identified by restriction endonuclease digestion and nucleotide sequencing. Osteosarcoma Cell Line U2-OS was transfected with the Lentivirus. Then the cells were used in MTT, flow cytometry analysis and clone formation. Results: 1.Restriction analysis and sequencing proved that recombinant lentiviral expression vector was constructed correctly. The titer of obtained overexpression and suppression expression recombinant lentivirus was 1.5 × 10 TU/ml and 4 × 10 TU/ml. 2. The cell proliferation rate, the apoptosis ratio and the cell ratio of G0 / G1 phase of U2-OS were obviously different in different experimental group (P<0.01). Conclusion: The lentiviral expression vector for microRNA-194 was successfully constructed. microRNA-194 could influence Osteosarcoma Cell Line U2-OS proliferation rate, apoptosis ratio and cell cycle. microRNA-194 could be further explored as a potential target in Osteosarcoma therapy.

Key words: MicroRNA-194; Lentivirus; Osteosarcoma; Cell proliferation; Cell apoptosis

Chinese Library Classification(CLC): R738 Document code: A Article ID: 1673-6273(2014)23-4401-05

作者简介:韩康(1983-),男,博士研究生,研究方向:事骨肿瘤的诊断与治疗,电话:13572081887,E-mail:gan\_7758525@163.com; 赵廷宝(1963-),男,主任医师,博士研究生,研究方向:骨缺损修复、脊柱外科,电话:(029) 3577591,E-mail:zhaotingbao @21cn.com # 为共同第一作者

△通讯作者:马保安(1962-),男,研究方向:骨肿瘤外科、创伤骨科及人工关节,主任医师,博士生导师,

E-mail:gukemba@fmmu.edu.cn

(收稿日期:2014-01-16 接受日期:2014-02-15)

<sup>\*</sup>基金项目:国家自然科学基金项目(81201633)

# 前言

MicroRNAs(miRNAs)是一组广泛存在于动植物等真核细 胞生物中21~25nt长的单链小分子RNA[1,2],通过对基因转录 或翻译起到阻滞或调控的作用来进行表达。MiRNA参与多项 动植物的生命复杂活动的调控,在细胞增殖、器官形成、生长发 育、细胞凋亡等水平调控基因组的表达,参与生命过程中一系 列的重要进程<sup>[3]</sup>。已有相关文献报道,miRNAs 表达的异常与恶 性肿瘤的发生有着非常密切的关系[4,5]。骨肉瘤是一类起源于间 叶组织,原发于骨髓腔的高度恶性实体肿瘤。多以出现骨样组 织或不成熟骨为特征。通过 X,CT 等影像学检查结合病理检 查,较为容易的进行诊断。在儿童和青少年期多见,且预后极 差。肺部转移可见于约50%的患者,并成为最主要的骨肉瘤患 者死亡原因[67]。目前治疗以手术为主,化疗为辅。但容易产生耐 药性,复发率高,且经济社会负担沉重 [8]。本研究通过构建 miR-194 过表达及抑制表达慢病毒表达载体,通过 MTT,细胞 流式,平板克隆实验等实验方法研究 miR-194 对于骨肉瘤细胞 系 U2-OS 增殖, 凋亡以及周期的影响。

## 1 材料和方法

## 1.1 细胞株和主要试剂盒仪器

人成骨肉瘤细胞系 U2-OS 购于北京创联生物技术有限公 司。高糖 DMEM 培养基、Opti-MEMI (optimum-minimum essential medium)去血清培养基购自美国 Gibco 公司,胎牛血清 购自上海微科试剂。shRNA 载体 pLKO.1-TRC cloning Vector 及阴性对照载体 pLKO.1-TRC control 购于美国 Addgene 公 司。表达质粒载体 pLVX-AcGFP1-N1 购自 Clontech 公司。PCR 仪来自美国 Applied Biosystems 公司, positive clone 测序来自 美季生物技术,稳压 DNA 电泳仪来自 BioRad 公司,细菌培养 箱来自上海一恒科学仪器有限公司,Gilson移液器来自吉尔森 公司,高速离心机来自日立公司。

#### 1.2 细胞培养

成骨肉瘤细胞系 U2-OS 细胞用高糖 DMEM 培养液(含 10 % 胎牛血清) 中培养在 37 ℃、5 %CO<sub>2</sub> 饱和湿度的孵箱条件下 传代培养,实验用细胞均在其对数生长期提取。

### 1.3 MicroRNA-194 慢病毒载体的构建

1.3.1 PCR 扩增 通过 miRBase 序列数据库获得 micro-194 成 熟序列及前体序列,根据其基因设计相应的引物。序列如下: hsa-mir-194-1: AUGGUGUUAUCAAGUGUAACAGCAAC UC-CAUGUGGACUGUGUACCAAUUUCCAGUGGAGAUGCUG UUACUUUUGAUGGUUACCAA。 其引物为:AGCTGTA- $CAAGTAAGAGAACATGAATAAATCGAGAC_{\circ}$ 

hsa-miR-194-5p:UGUAACAGCAACUCCAUGUGGA。其 引物为: ccatgattccttcatatttgc。引物由上海吉凯生物工程有限公 司合成。上下游引物分别含有 Not I 和 Mlu I 酶切位点;以正常 人基因组 DNA 为模板扩增, 反应程序:94℃ 预变性 10 s,94℃ 变性 30 s,54.5 ℃ 退火 30 s,72 ℃ 延伸 30 s,30 个循环。纯化并 回收 PCR 产物。

1.3.2 重组慢病毒载体的构建 用氯化钙制备新鲜的大肠杆菌 感受态细胞,将 microRNA 片段连接入线性化载体及转化,之

后进行阳性克隆的 PCR 鉴定及阳性克隆测序结果及结果分 析。

1.3.3 慢病毒包装,收获,浓缩及滴度的测定 按 Invitrogen 公 司 Lipofectamine 2000 使用说明进行转染 293T 细胞,转染后 8 h 更换为完全培养基,培养 48 h 后,收集富含慢病毒颗粒的细 胞上清液,对其浓缩后得到高滴度的慢病毒浓缩液,在 293T 细 胞中测定并标定病毒滴度。用荧光法进行滴度的测定。

#### 1.4 MTT 分析

实验将细胞分为 4 组:miRNA-194 上调组,空白病毒对照 组,未转染组及 miRNA-194 下调组。每组细胞设 5 复孔,实验 孔周边孔用无菌 PBS 充填,实验共重复 3 次。取 4 组稳定转染 后的 U2-OS 细胞, 离心计数后以每孔 2× 103个细胞的密度接 种于 96 孔板中,置于孵箱中进行培养。分别在之后 24 h,48 h, 72 h,96 h,120 h,144 h 后,将 20 μL MTT 溶液加入每孔,再置 入孵箱 4h,将上清液小心吸出后,将 150 μL DMSO 加入。在酶 标仪中震荡 10 min,在 492 nm 处测每孔的光密度 OD 值。每组 取 6 孔 OD 均值,绘制生长曲线(时间(d)为横坐标,吸光度(OD) 为纵坐标)。

## 1.5 平板克隆形成实验

实验将细胞分为 4 组:miRNA-194 上调组,空白病毒对照 组,未转染组及 miRNA-194 下调组。取 4 组稳定转染后的 U2-OS 细胞,消化,离心,吹悬。用梯度倍数将各组细胞悬液稀 释计数后尽量均匀的加入到各实验皿中, 使其密度为 500 个/ 皿。在孵箱静置培养 2~3周,约3-5天进行换液。终止培养标 准为出现肉眼可见的克隆(约3周)。纯甲醇固定,结晶紫溶液 固定,用相机进行拍照,并肉眼直接计数克隆数量。克隆形成率 公式为:克隆数/接种细胞数×100%。

#### 1.6 细胞周期和凋亡测定

细胞周期测定时,实验分为4组:miRNA-194上调组,空 白病毒对照组,未转染组及 miRNA-194 下调组。取 4 组稳定转 染后的 U2-OS 细胞。消化离心后。凋亡组直接用相应培养基吹 悬。周期组用预冷的70%乙醇固定细胞吹悬固定。后分别经离 心,磷酸盐缓冲液冲洗,1%碘化乙锭(PI)染色后,用 PBS 平衡盐 溶液调整体积至1 mL。将样品置人 BD—Aria FACS Calibur 流 式细胞仪中检测细胞凋亡与周期。每组3个样本,实验重复3 次。

# 1.7 统计学分析

本实验数据以均数±标准差(mean±SD)表示,采用SPSS 17.0 软件对多个样本均数进行重复测量的多因素方差分析及 单因素方差分析,各均数问的两两比较行 q 检验。以 P<0.05 为 差异有统计学意义。

## 2 结果

### 2.1 MicroRNA-194 慢病毒载体的构建

- 2.1.1 MicroRNA-194 基因扩增产物的鉴定 其基因的 PCR 产 物经电泳分析,可见特异性条带,大小与预期一致。如(图1)。
- 2.1.2 **滴度的测定** 其过表达慢病毒滴度为:1.5× 10<sup>8</sup>TU/ml,抑 制过表达慢病毒滴度为 4× 108TU/ml。
- 2.1.3 **感染复数**(multiply of infection, MOI)值 测定过表达为: 100 TU/ml,抑制过表达及空白病毒对照为 50TU/ml。

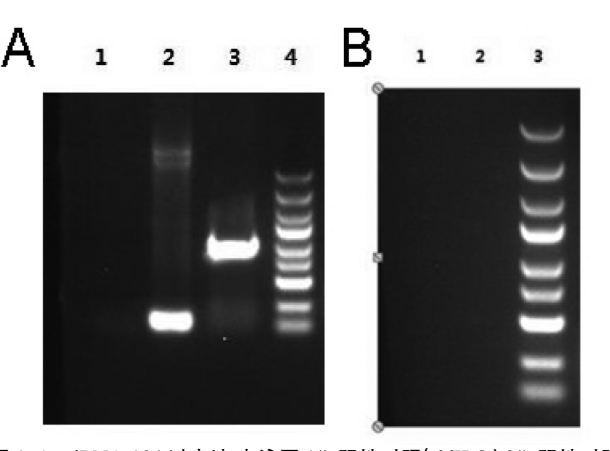


图 1 A:miRNA-194 过表达 电泳图 1#:阴性对照(ddH<sub>2</sub>O) 2#:阴性对照(空载自连对照组)3#:阳性对照(GAPDH) 4#:Marker。 B:miRNA-194 抑制表达 电泳图 1#:阴性对照(ddH<sub>2</sub>O) 2#:阴性对照(空载自连对照组) 3#:Marker

Fig. 1 A;miRNA-194 electrophoretogram of overexpression 1#;negative control(ddH<sub>2</sub>O) 2#;negative control(no-load control)3#;positive control (GAPDH) 4#;Marker<sub>o</sub> B;miRNA-194 electrophoretogram of suppression expression 1#;negative control(ddH<sub>2</sub>O) 2#;negative control(no-load control)3#; Marker

2.1.4 **嘌呤霉素筛选及获取目的细胞** 可见最佳筛选浓度为 0.5 μg/ml,抑制过表达及空白对照慢病毒转染细胞最佳筛选浓度为 1 μg/ml。经筛选后获得满意目的细胞,转染及筛选效率 > 90 %(图 2)。

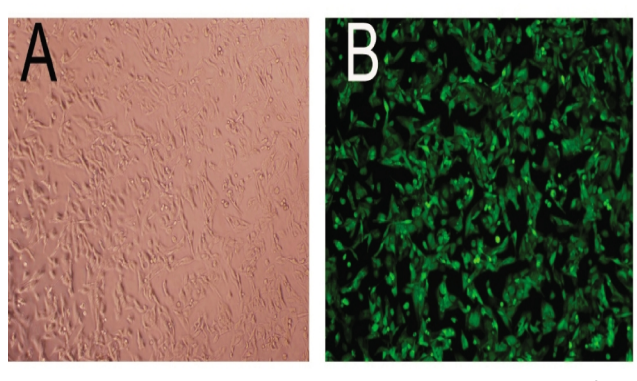


图 2 骨肉瘤 U2-OS 细胞经慢病毒载体转染及嘌呤霉素筛选后,获取目的细胞。A 为白光视野,B 为相对应绿色荧光视野。放大倍数为 (100×)

Fig. 2 U2-OS cells were observed with white bright (left) and green fluorescence assay (right) in the same vision using fluorescence microscopy  $(100\times)$ 

## 2.2 miR-194 模拟物对 U2-OS 细胞增殖的影响

2.2.1 **MTT** 绘制了 4 组细胞(上调组、空白病毒对照组、未转染细胞组及下调组) 的生长曲线,结果显示,同其他组相比,miR-194 上调组细胞的增殖能力明显下降(P<0.05),下调组增殖能力明显上升(P<0.05)。而未转染细胞组与空白病毒对照组细胞的增殖能力没有显著差别(P>0.05)(图 3)。

2.2.2 平板克隆实验 实验分为 4 组细胞(上调组、空白病毒对照组、未转染细胞组及下调组),结果显示,同其他组相比,上调组细胞的增殖能力明显下降(P<0.05),下调组增殖能力明显上

升(P<0.05)。而未转染细胞组与空白病毒对照组细胞的增殖能力没有显著差别(P>0.05)。(图 4)

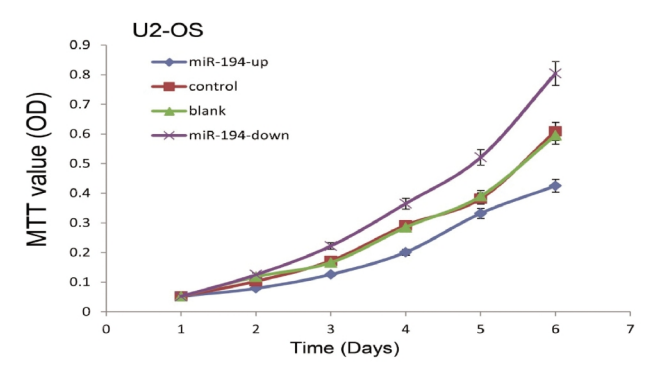


图 3 miRNA-194 上调,下调,空白病毒对照及未转染组 U2-OS 细胞的生长曲线图。每一个 OD 值以平均值与标准差的形式进行表达 Fig. 3 After transfection, every 24 h, MTT assay was performed on four groups of U2-OS cells. The viable cell number was evaluated as the value of the absorbance at 490 nm with a reference wavelength of 630 nm. Values of optical density (OD) are expressed as means± SD. Point symbol, mean of four independent experiments; bars, SD

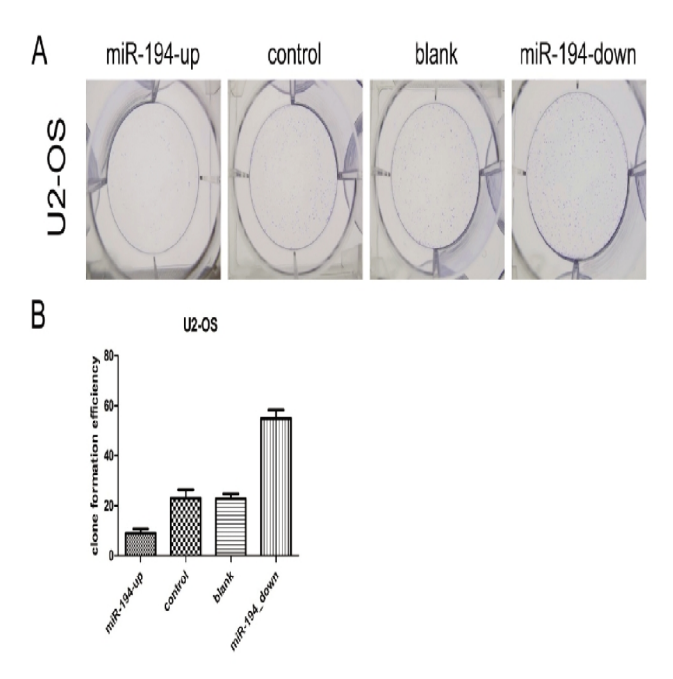


图 4 不同实验组的 U2-OS 细胞平板克隆实验结果。21 天后克隆被拍摄并计数。结果用均数± 标准差进行表示

Fig. 4 Effect of miR-194 on the clone formation in U2-OS cells. The clone formation of U2-OS cells was captured and counted after 21 d of culture. Columns, mean of four independent experiments; bars, SD

#### 2.3 miR-194 表达对 U2-OS 细胞周期的影响

流式细胞仪检测结果显示,上调组和其他 3 组相比,处于 G0/G1 期的细胞比例显著增多,同时 G2/M 期的细胞比例及 s 期细胞比例显著减少,差异有统计学意义(P<0.01)。下调组和其他 3 组相比,处于 G0/G1 期的细胞比例显著减少,G2/M 期的与 s 期细胞比例显著增加,差异有统计学意义(P<0.01)。空白病毒对照细胞组与未转染细胞组相比,处于各期细胞比例差异无统计学意义(P>0.05)(图 5)。

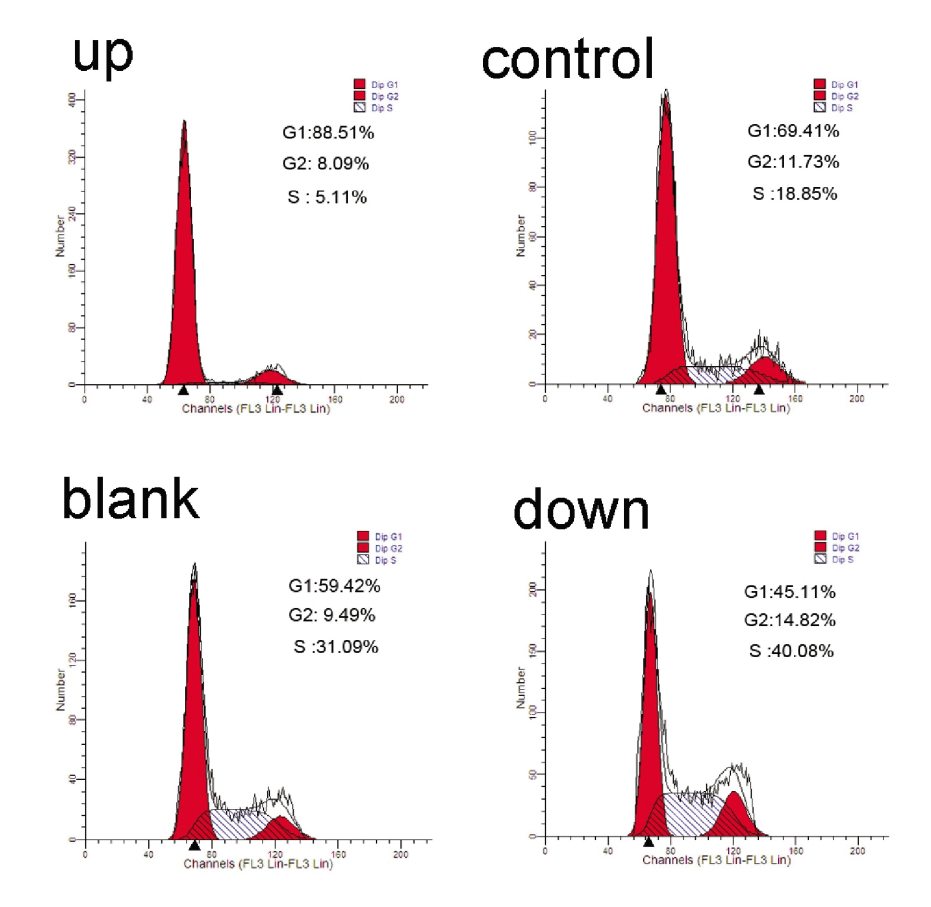


图 5 miRNA-194 上调,下调,空白病毒对照及未转染组 U2-OS 细胞的细胞周期通过流式细胞仪进行测定 Fig. 5 Cell cycle distribution of treated U2-OS was measured using flow cytometry analysis

## 2.4 miR-194 对 U2-OS 细胞凋亡的影响

流式细胞仪检测结果显示,同其他3组相比,上调组细胞的凋亡率明显上升(P<0.05),下调组凋亡率明显下降(P<0.05)。

而未转染细胞组与空白病毒对照组细胞的凋亡率没有显著差别(P>0.05)(图 6)。

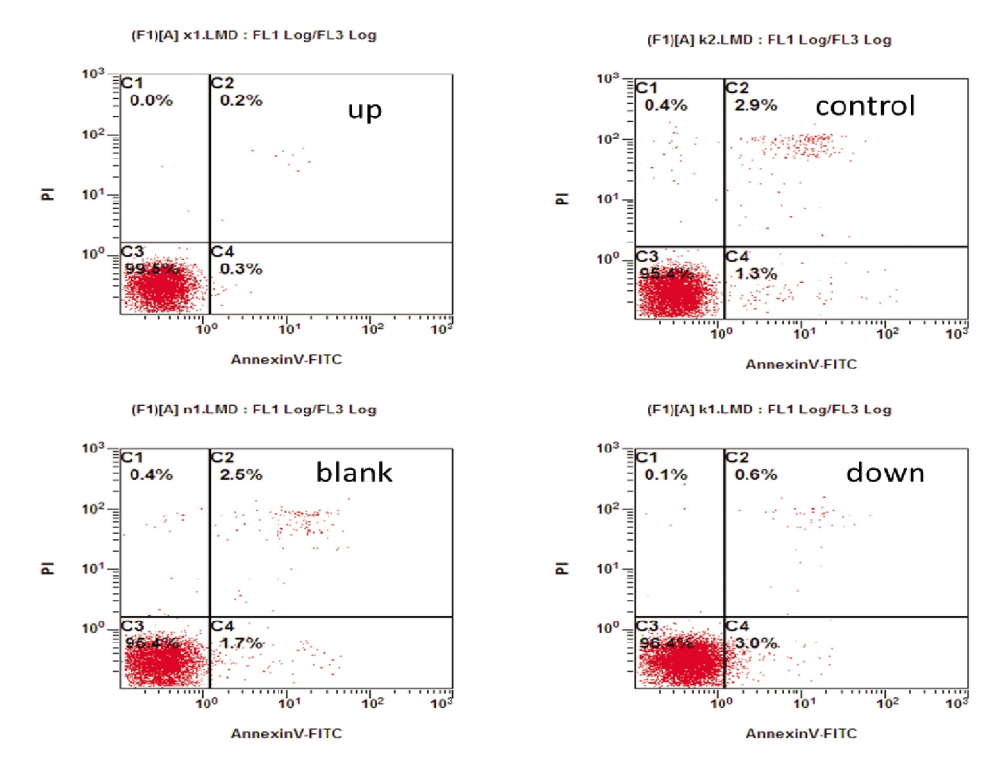


图 6 miRNA-194 上调,下调,空白病毒对照及未转染组 U2-OS 细胞的凋亡率通过流式细胞仪进行测定 Fig. 6 Apoptosis of U2-OS cells were measured by FACS with Annexin V and propidium iodide staining

# 3 讨论

后基因组时代,主要表现为 RNA 的调控,而其中,miRNA 毫无疑问是最重要的调控家族之一。miRNAs 在动植物的细胞增殖,代谢,肿瘤形成,转移等功能中,都起到重要的作用。据相关文献报道<sup>[9]</sup>,miRNA 具有以下特征:1.在个体发育中起着极其重要的作用;2.与原癌基因的调控有关;3.参与了多种组织,在不同组织中有着不同的表达;4.参与病毒感染的过程。同时,在多种类型的恶性肿瘤中,miRNA 起着癌基因或者抑癌基因的作用,从而使 miRNA 成为可能的新型肿瘤生物标记信号<sup>[10]</sup>。在肺癌,白血病,肝癌,神经胶质瘤等多种恶性肿瘤中,都有相关文献报道,miRNA 对肿瘤的增殖及转移起到重要作用<sup>[11-13]</sup>。正是由于 miRNA 在肿瘤发生,增殖,转移等机制中起着关键的作用,尤其是与肿瘤转移的密切相关性,因此,如果能在特定肿瘤中找出其相关的特定 miRNA,能够为肿瘤的早期诊断、肿瘤分类及分子靶向治疗等提供新的靶点和研究思路。

最近几年,已有相关文献报道,miRNA-194 在许多肿瘤中都有异常表达[14,15],如在结肠癌[16],食管癌[17]等肿瘤细胞中。Venugopal SK[18]等的研究表明,miRNA-194 在肝细胞的中为高表达,其表达受 HNF-1a 等多种因素调控和调节,可通过抑制肝星状细胞的激活,从而起到抑制肝的纤维化的作用。同时,miRNA-194 还有可能受 P53 基因的调节,P53 基因的异常表达已被证实与肿瘤的发生、调控有着密切的关系 [16]。我们推测miR-194 可能与肿瘤的增殖、调亡、细胞周期及转移等性状有关,因此本实验选择 miR-194 为研究对象。研究 miR-194 的在骨肉瘤细胞中的生物学功能。但是,在国内外研究中,关于miRNA-194 对于骨肿瘤的作用和影响的研究较少。尤其是利用慢病毒技术构建稳定转染的细胞系进行相关实验的更少。

慢病毒技术是分子生物学和细胞生物学的基本研究工具。它的优点主要包括:1.可以感染大多数的分化或未分化细胞; 2.相对容易建立稳定转染的细胞株; 3.可以稳定的整个到宿主基因组中; 4.较为简便的适应于报告系统。利用 miRNA 的生成过程。加入相应 miRNA 的前体或其成熟体的相对应序列的双链结构,便可以实现相对应的上调及下调 miRNA。

本实验便利用慢病毒技术,首先构建慢病毒载体,从而获得 MicroRNA-194 的沉默及过表达,进行 MTT,细胞流式,平板克隆实验等实验,同时为了使实验更具有科学性和严谨性,对照组共设为 2 组:空白病毒对照组及未转染细胞组,以排除病毒本身对该实验结果的影响。实验结果提示:miR-194 对于成骨肉瘤细胞系 U2-OS 具有抑制细胞增殖、促进凋亡,使细胞周期停滞的作用,从而提示 miRNA-194 有可能是骨肉瘤的抑癌基因。

目前对 miR-194 如何调控骨肉瘤细胞的增殖、迁移和侵袭力的作用机制有待深入的研究,后续工作有待开展。下一步可利用已经构建完毕的 miR-194 稳定转染表达的骨肉瘤 U2-OS 细胞系,构建原位裸鼠肺转移模型,通过比较各组皮下肿瘤的生长速度,体积大小,重量,转移情况等指标差异,验证 miR-194 对于骨肉瘤成瘤及肺转移的影响。并尝试通过荧光实时定量 PCR,荧光素酶基因报告实验,western 等实验寻找 miR-194 的靶基因,从而揭开 miR-194 的作用机制。

#### 参考文献(References)

- [1] Ambros V. microRNAs: tiny regulators with great potential [J]. Cell, 2001, 107: 823-826
- [2] Bartel DP. MicroRNAs: genomics, biogenesis, mechanism, and function[J]. Cell, 2004, 116: 281-297
- [3] Kloosterman WP, Plasterk RH. The diverse functions of microRNAs in animal development and disease[J]. Developmental cell, 2006, 11: 441-450
- [4] Zhang B, Pan X, Cobb GP, Anderson TA. microRNAs as oncogenes and tumor suppressors[J]. Developmental biology, 2007, 302: 1-12
- [5] Cheng Q, Yi B, Wang A, et al. Exploring and exploiting the fundamental role of microRNAs in tumor pathogenesis [J]. OncoTargets and therapy, 2013, 6: 1675-1684
- [6] Clark JC, Dass CR, Choong PF. A review of clinical and molecular prognostic factors in osteosarcoma [J]. Journal of cancer research and clinical oncology, 2008, 134: 281-297
- [7] Kansara M, Thomas DM. Molecular pathogenesis of osteosarcoma [J]. DNA and cell biology, 2007, 26: 1-18
- [8] Xia T, O'Hara A, Araujo I, et al. EBV microRNAs in primary lymphomas and targeting of CXCL-11 by ebv-mir-BHRF1-3 [J]. Cancer research, 2008, 68: 1436-1442
- [9] Deng S, Calin GA, Croce CM, et al. Mechanisms of microRNA deregulation in human cancer[J]. Cell cycle (Georgetown, Tex), 2008, 7: 2643-2646
- [10] Lu J, Getz G, Miska EA, et al. MicroRNA expression profiles classify human cancers[J]. Nature, 2005, 435; 834-838
- [11] Johnson SM, Grosshans H, Shingara J, et al. RAS is regulated by the let-7 microRNA family[J]. Cell, 2005, 120: 635-647
- [12] Calin GA, Dumitru CD, Shimizu M, et al. Frequent deletions and down-regulation of micro-RNA genes miR15 and miR16 at 13q14 in chronic lymphocytic leukemia [J]. Proceedings of the National Academy of Sciences of the United States of America, 2002, 99:1552 4-15529
- [13] Chan JA, Krichevsky AM, Kosik KS. MicroRNA-21 is an antiapoptotic factor in human glioblastoma cells [J]. Cancer research, 2005, 65: 6029-6033
- [14] Georges SA, Biery MC, Kim SY, et al. Coordinated regulation of cell cycle transcripts by p53-Inducible microRNAs, miR-192 and miR-215[J]. Cancer research, 2008, 68: 10105-10112
- [15] Song B, Wang Y, Kudo K, et al. miR-192 Regulates dihydrofolate reductase and cellular proliferation through the p53-microRNA circuit [J]. Clinical cancer research: an official journal of the American Association for Cancer Research, 2008, 14: 8080-8086
- [16] Braun CJ, Zhang X, Savelyeva I, et al. p53-Responsive micrornas 192 and 215 are capable of inducing cell cycle arrest [J]. Cancer research, 2008, 68: 10094-100104
- [17] Krutzfeldt J, Rosch N, Hausser J, et al. MicroRNA-194 is a target of transcription factor 1 (Tcfl, HNF1alpha) in adult liver and controls expression of frizzled-6[J]. Hepatology (Baltimore, Md), 2012, 55:98-107
- [18] Venugopal SK, Jiang J, Kim TH, et al. Liver fibrosis causes downregulation of miRNA-150 and miRNA-194 in hepatic stellate cells, and their overexpression causes decreased stellate cell activation [J]. American journal of physiology Gastrointestinal and liver physiology, 2010, 298: G101-106